

(151)  $MnO_x-CaO-SiO_2(-Al_2O_3)$  融体中マンガンの酸化還元平衡

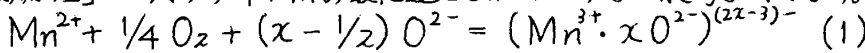
東京大学工学部

田村 庸 (現 日立金属)  
中村 成子 ○佐野 信雄

[緒言] フェロマンガンの製造のために事前処理した焼結鉄中のマンガンは  $Mn_3O_4$  と  $MnO$  として存在するが、 $MnO$  の割合が大きいほど還元剤の使用量が少なくて済み有利である。そこで、本研究ではフェロマンガンの製造時に伴うスラグを模擬した  $MnO_x-CaO-SiO_2(-Al_2O_3)$  系のスラグのマンガンの Redox 的挙動を中心とした化学的性質を明らかにしようとした。

[実験] 試料 3g を白金るつぼに入れ、タンマン炉で  $1400^\circ C$ 、空気雰囲気下で 2 時間溶融平衡させた。酸素分圧依存性の実験は  $Ar$  と  $O_2$  の混合ガスで酸素分圧を制御した。

[実験原理] スラグ中  $Mn$  の酸化還元を次のような一般的な式で示す。



温度、 $P_{O_2}$  一定とし、スラグ組成によって活量係数が変化しなければ、

$$\log(Mn^{3+}/Mn^{2+}) = (x - \frac{1}{2}) \log a_{O^{2-}} + C_1 \quad (2)$$

温度、組成を一定とすれば、

$$\log(Mn^{3+}/Mn^{2+}) = \frac{1}{4} \log P_{O_2} + C_2 \quad (3)$$

また (1) 式のエンタルピー変化を  $\Delta H^\circ$  とすれば

$$\partial \ln(Mn^{3+}/Mn^{2+}) / \partial (1/T) = -\Delta H^\circ / R + C_3 \quad (4)$$

となる。そこで本研究では、組成、酸素分圧、温度をそれぞれ変えたとき、 $Mn$  の 2 価 - 3 価の割合がどう変化するかを調べた。

[結果および考察] ① スラグの塩基度を変えるために、 $Mn^{2+} + Mn^{3+}$  を一定 (31 wt%) とし、 $CaO/SiO_2$  を変化させた。次に、 $CaO/SiO_2 = 1$  に固定し、 $MnO$  を変化させた。その結果、 $CaO, MnO$  濃度が大きくなるとともに  $Mn^{3+}$  の割合が大きくなった。このことは、 $CaO, MnO$  が塩基性酸化物であることを考えれば、(1) 式が妥当で、 $x > 1/2$  であることを示している。ここで  $MnO$  の塩基性酸化物としての強度を評価するために wt%  $MnO$  の wt%  $CaO$  等量を考える。これを  $y$  とし、新たに塩基度の尺度として  $(y MnO + CaO) / SiO_2$  を考え、前述の 2 つのグラフがうまくまとまるように  $y$  を求めると、 $y = 0.4 \pm 0.1$  となった。この結果を Fig. 1 に示す。ただし、この  $y$  の値は本系の全組成にわたって有効であるかどうかは不明である。

② 酸素分圧依存性の実験結果を Fig. 2 に示す。グラフより  $\log(Mn^{3+}/Mn^{2+}) = 0.18 \log P_{O_2} - 0.74$  を得た。これは (3) 式から予測される傾き 0.25 とほぼ一致する。

③ 温度依存性の実験結果から、 $\Delta H^\circ = -9.15$  (kcal/mol) を得た。この値は、マンガンの濃度、スラグ系、温度が異なるにもかかわらず、Johnston の  $Na_2O \cdot 2 SiO_2$  系の結果<sup>1)</sup> より計算した  $\Delta H^\circ = -11.4$  (kcal/mol) とよく一致している。

④ 現場高炭フェロマンガンスラグは約 7% の  $Al_2O_3$  を含有するので、 $Al_2O_3$  添加の影響を 12% まで調べた結果、 $Al_2O_3$  の増加とともに  $Mn^{3+}/Mn^{2+}$  の値は一様に増加した。

⑤ 現場スラグ ( $Mn$  33%,  $SiO_2$  25.5%,  $CaO$  10.6%,  $Al_2O_3$  7.4%,  $MgO$  2.4%) を空气中  $1400^\circ C$  で再溶解したところ  $Mn^{3+}/Mn^{2+} = 0.056$  が得られた。

[参考文献] 1) W. D. JOHNSTON: J. Am. Ceram. Soc., 1964, 47, 198

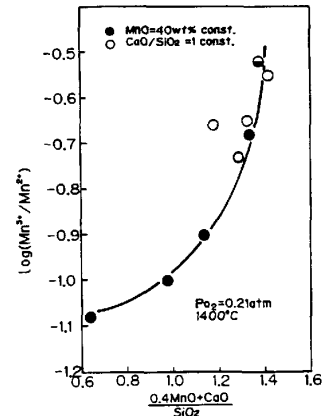


Fig. 1. Basicity dependence of  $Mn^{3+}/Mn^{2+}$  ratio.

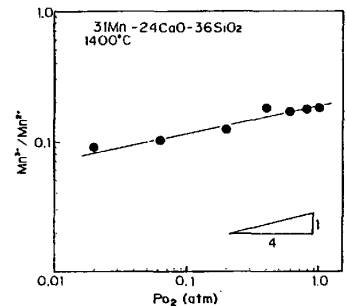


Fig. 2. Oxygen partial pressure dependence of  $Mn^{3+}/Mn^{2+}$  ratio.